

Obliczenia Naukowe

Lista nr 5 - Rozwiązywanie Równań Liniowych

Tomasz Niedziałek 279754

6 stycznia 2026

Spis treści

1 Wstęp	2
2 Struktury i złożoność pamięciowa	2
3 Implementacja i złożoność czasowa	2
3.1 Algorytm Eliminacji Gaussa / Rozkład LU	2
3.1.1 Etap 1: Eliminacja w przód / Faktoryzacja	2
3.1.2 Etap 2: Rozwiązywanie układu	3
3.2 Warianty z wyborem elementu głównego	3
3.3 O złożoności	3
4 Szczegółowy opis algorytmów	3
4.1 Opis algorytmu rozwiązywania układu bez wyboru elementu głównego	3
4.2 Opis algorytmu rozwiązywania układu z wyborem elementu głównego	5
4.3 Opis algorytmu faktoryzacji LU macierzy blokowej	7
4.3.1 Wariant bez wyboru elementu głównego	7
4.3.2 Wariant z częściowym wyborem elementu głównego	7
5 Wyniki i wnioski	8

1 Wstęp

Celem labolatorium było zaimplementowanie funkcji rozwiązujących liniowy układ równań postaci $Ax = b$, gdzie A jest macierzą blokową-trójdziagonalną $n \times n$ składającą się z v ($v = n/l$) bloków o wymiarach $l \times l$.

$$A = \begin{pmatrix} A_1 & C_1 & 0 & 0 & 0 & \cdots & 0 \\ B_2 & A_2 & C_2 & 0 & 0 & \cdots & 0 \\ 0 & B_3 & A_3 & C_3 & 0 & \cdots & 0 \\ \vdots & \ddots & \ddots & \ddots & \ddots & \ddots & \vdots \\ 0 & \cdots & 0 & B_{v-2} & A_{v-2} & C_{v-2} & 0 \\ 0 & \cdots & 0 & 0 & B_{v-1} & A_{v-1} & C_{v-1} \\ 0 & \cdots & 0 & 0 & 0 & B_v & A_v \end{pmatrix},$$

Bloki zdefiniowane są następująco:

- Bloki diagonalne A_k są gęste.
- Bloki pod diagonalą B_k mają niezerowe elementy tylko w pierwszym wierszu i ostatniej kolumnie.
- Bloki nad diagonalą C_k są diagonalne

2 Struktury i złożoność pamięciowa

Dla efektywnego przechowywania macierzy zastosowano strukturę `BlockMatrix`, przechowującą bloki w wektorach, zamiast alokować pełną macierz $n \times n$. Bloki B_k , mające niezerowe elementy tylko w pierwszym wierszu i ostatniej kolumnie, zaimplementowane zostały pod postacią struktury `BorderMatrix`, przechowującej elementy niezerowe w dwóch wektorach długości l

- A_k przechowywane jako wektor v macierzy gęstych. Koszt pamięci: $v \cdot l^2 = n/l \cdot l^2 = n \cdot l$
- B_k przechowywane jako wektor $v-1$ struktur `BorderMatrix`. Koszt pamięci: $(v-1) \cdot 2l \approx 2n$
- C_k przechowywane jako wektor $v-1$ struktur `LinearAlgebra.Diagonal`, przechowującej jedynie wektor diagonalny. Koszt pamięci: $(v-1) \cdot l \approx n$

Całkowita złożoność pamięciowa struktury `BlockMatrix`:

$$M(n) \approx n \cdot l + 3n = O(n \cdot l) \underset{l \text{ const}}{=} O(n)$$

3 Implementacja i złożoność czasowa

3.1 Algorytm Eliminacji Gaussa / Rozkład LU

Zastosowano wariant blokowej eliminacji Gaussa ([blokowy algorytm Thomasa](#)). Algorytm przebiega w pętli po v blokach A na diagonali.

3.1.1 Etap 1: Eliminacja w przód / Faktoryzacja

Dla każdego kroku k od 1 do $v-1$: Blok A_k jest rozkładany na czynniki $L_k U_k$ (koszt $O(l^3)$); Obliczany jest wpływ bloku A_k na blok B_{k+1} ([dopełnienie Schura](#)). Wyznaczana jest macierz $W = A_k^{-1} C_k$. Dzięki temu, że C_k jest diagonalne, l układów równań rozwiązywane jest w czasie $O(l \cdot l^2) = O(l^3)$; Modyfikowany jest następny blok diagonalny: $A_{k+1} \leftarrow A_{k+1} - B_{k+1} W$. Dzięki rzadziej strukturze B_{k+1} , mnożenie to kosztuje tylko $O(l^2)$.

Całkowita złożoność czasowa eliminacji:

$$T_{elim} = v \cdot (O(l^3) + O(l^3) + O(l^2)) = \frac{n}{l} \cdot O(l^3) = O(n \cdot l^2)$$

3.1.2 Etap 2: Rozwiązywanie układu

Mając faktoryzację (wariant LU) lub zmodyfikowaną macierz (wariant Gaussa):

- Forward substitution: Iteracja od $k = 1$ do v . W każdym kroku rozwiązuje się lokalny układ $L_k y_k = \dots$ ($O(l^2)$) i odejmujemy wpływ poprzedniego bloku ($O(l)$).
- Backward substitution: Iteracja od $k = v$ do 1. W każdym kroku rozwiązuje się lokalny układ $U_k x_k = \dots$ ($O(l^2)$) i odejmujemy wpływ następnego bloku ($O(l)$).

Całkowita złożoność rozwiązywania:

$$T_{\text{solve}} = v \cdot O(l^2) = \frac{n}{l} \cdot O(l^2) = O(n \cdot l)$$

3.2 Warianty z wyborem elementu głównego

W wariantie z częściowym wyborem elementu głównego, zamiana wierszy odbywa się tylko wewnątrz bloków diagonalnych A_k . Nie wykonujemy zamiany wierszy między blokami, aby nie zniszczyć pasmowej struktury macierzy (co prowadziłoby do wypełnienia macierzy i wzrostu złożoności). Permutacje lokalne są zapamiętywane w wektorze permutacji dla każdego bloku i uwzględniane podczas rozwiązywania lokalnych układów równań. Złożoność asymptotyczna pozostaje taka sama ($O(n)$), dochodzi jedynie narzut na wyszukiwanie maksimum w kolumnie ($O(l^2)$ na blok).

3.3 O złożoności

Kiedy l jest stałe:

- Złożoność pamięciowa: $O(n)$
- Złożoność czasowa: $O(n)$

4 Szczegółowy opis algorytmów

4.1 Opis algorytmu rozwiązywania układu bez wyboru elementu głównego

Algorytm 1 prezentuje procedurę rozwiązywania układu $Ax = b$ dla macierzy blokowo-trójdagonalnej in-place. Macierz A jest modyfikowana w trakcie działania algorytmu, przechowując w blokach diagonalnych A_k czynniki rozkładu LU. Wektor b jest stopniowo przekształcany w wektor rozwiązania x .

Wyjaśnienie działania

Algorytm realizuje metodę eliminacji Gaussa dostosowaną do struktury blokowej. Proces przebiega w dwóch fazach:

1. **Eliminacja w przód:** Przetwarzamy macierz blok po bloku. W kroku k dokonujemy rozkładu LU gęstego bloku diagonalnego A_k . Następnie wykorzystujemy ten rozkład do wyeliminowania bloku poddiagonalnego B_{k+1} z kolejnego równania blokowego. Operacja ta modyfikuje następny blok diagonalny A_{k+1} oraz odpowiadający mu fragment wektora prawej strony x_{k+1} . Wykorzystanie rzadkiej struktury macierzy B pozwala wykonać mnożenia macierzowe w czasie $O(l^2)$ zamiast $O(l^3)$.

Algorithm 1 Rozwiązywanie układu metodą blokowej eliminacji Gaussa (Zadanie 1a)

Require: Macierz blokowa A (bloki A_k, B_k, C_k), wektor prawych stron b , liczba bloków v

Ensure: Wektor rozwiązania x

```
1:  $x \leftarrow b$                                 ▷ Operujemy bezpośrednio na wektorze danych  
    Etap 1: Eliminacja w przód  
2: for  $k \leftarrow 1$  to  $v$  do  
3:    $A_k \leftarrow \text{LU Decomposition}(A_k)$           ▷ Rozkład  $A_k = L_k U_k$  w miejscu  
4:    $x_k \leftarrow L_k^{-1} x_k$                       ▷ Rozwiązywanie układu trójkątnego  $L_k y = x_k$   
5:   if  $k < v$  then  
6:      $W \leftarrow A_k^{-1} C_k$                       ▷ Obliczenie macierzy pomocniczej  
7:      $A_{k+1} \leftarrow A_{k+1} - B_{k+1} W$           ▷ Modyfikacja kolejnego bloku (dopełnienie Schura)  
8:      $z \leftarrow U_k^{-1} x_k$                       ▷ Wektor pomocniczy  
9:      $x_{k+1} \leftarrow x_{k+1} - B_{k+1} z$           ▷ Eliminacja wpływu na wektor prawej strony  
10:    end if  
11:   end for  
    Etap 2: Podstawienie wstecz  
12:    $x_v \leftarrow U_v^{-1} x_v$                       ▷ Rozwiązywanie dla ostatniego bloku  
13:   for  $k \leftarrow v - 1$  downto 1 do  
14:      $kor \leftarrow L_k^{-1} (C_k x_{k+1})$           ▷ Obliczenie poprawki wynikającej z  $C_k$   
15:      $x_k \leftarrow x_k - kor$                       ▷ Aktualizacja prawej strony  
16:      $x_k \leftarrow U_k^{-1} x_k$                       ▷ Ostateczne wyliczenie  $x_k$   
17:   end for  
18:   return  $x$ 
```

2. **Podstawienie wstecz:** Po doprowadzeniu macierzy do postaci blokowo-górnotrójkątnej, wyznaczamy rozwiązanie idąc od ostatniego bloku v do pierwszego. W każdym kroku k aktualizujemy wektor x_k o wartości wynikającej z rozwiązania dla bloku $k + 1$ (poprzez macierz C_k), a następnie rozwiążujemy lokalny układ równań z macierzą górnopróbkową U_k .

4.2 Opis algorytmu rozwiązywania układu z wyborem elementu głównego

Wariant z częściowym wyborem elementu głównego różni się od wersji podstawowej tym, że dopuszcza zamianę wierszy wewnątrz bloków diagonalnych A_k w celu poprawy stabilności numerycznej. Ponieważ nie zamienniamy wierszy pomiędzy różnymi blokami, aby nie zniszczyć pa-smowej struktury macierzy, proces ten nazywamy lokalnym wyborem elementu głównego.

Wymaga to zdefiniowania pomocniczej procedury rozkładu LU, która zwraca wektor permutacji (Algorytm 2).

Algorithm 2 Lokalny rozkład LU z wyborem elementu głównego

Require: Macierz gęsta A o wymiarach $l \times l$

Ensure: Macierz A nadpisana czynnikami L i U , wektor permutacji p

```

1:  $p \leftarrow [1, 2, \dots, l]$                                      ▷ Inicjalizacja wektora permutacji
2: for  $k \leftarrow 1$  to  $l - 1$  do
3:    $m \leftarrow$  indeks elementu o max module w kolumnie  $k$  od wiersza  $k$ 
4:   if  $m \neq k$  then
5:     Zamień wiersze  $k$  i  $m$  w macierzy  $A$ 
6:     Zamień elementy  $p[k]$  i  $p[m]$ 
7:   end if
8:   for  $i \leftarrow k + 1$  to  $l$  do
9:      $A_{ik} \leftarrow A_{ik}/A_{kk}$                                ▷ Obliczenie mnożnika
10:     $A_{i,k+1:l} \leftarrow A_{i,k+1:l} - A_{ik} \cdot A_{k,k+1:l}$     ▷ Eliminacja
11:   end for
12: end for
13: return  $p$ 

```

Główna procedura rozwiązująca (Algorytm 3) musi przechowywać wektory permutacji p_k dla każdego bloku, aby poprawnie przekształcić wektor prawej strony zarówno w fazie eliminacji, jak i podstawienia wstecznego.

Analiza różnic

Wprowadzenie wyboru elementu głównego wprowadza następujące zmiany w stosunku do wariantu podstawowego:

1. **Lokalność permutacji:** Zamiana wierszy odbywa się wyłącznie w obrębie bloków $l \times l$. Oznacza to, że relacja $PA = LU$ jest spełniona lokalnie dla każdego bloku ($P_k A_k = L_k U_k$).
2. **Pamięć:** Wymagane jest dodatkowe $O(v \cdot l) = O(n)$ pamięci na przechowanie wektorów permutacji dla każdego bloku.
3. **Podstawienie wstecz:** W równaniu $U_k x_k = L_k^{-1} P_k (b_k - C_k x_{k+1})$ człon $P_k b_k$ został uwzględniony w etapie eliminacji. Jednak człon $C_k x_{k+1}$ nie był permutowany. Dlatego przed rozwiązaniem układu z macierzą L_k , wektor poprawki $C_k x_{k+1}$ musi zostać poddany tej samej permutacji P_k , co pierwotny blok A_k .

Algorithm 3 Rozwiązywanie układu z częściowym wyborem elementu (Zadanie 1b)

Require: Macierz blokowa A , wektor b , liczba bloków v

Ensure: Wektor rozwiązania x (zapisany w miejscu b)

```
1:  $x \leftarrow b$ 
2:  $perms \leftarrow$  tablica wektorów permutacji długości  $v$ 
   Etap 1: Eliminacja w przód
3: for  $k \leftarrow 1$  to  $v$  do
4:    $(A_k, p_k) \leftarrow LU\_Pivot(A_k)$                                 ▷ Rozkład z pivotem (Algorytm 2)
5:    $perms[k] \leftarrow p_k$ 
6:    $x_k \leftarrow \text{Permutuj}(x_k, p_k)$                                 ▷ Zastosowanie permutacji do wektora  $b$ 
7:    $x_k \leftarrow L_k^{-1}x_k$                                               ▷ Rozwiążanie  $L_k y = P_k b_k$ 
8:   if  $k < v$  then
9:      $W \leftarrow \text{Oblicz } A_k^{-1}C_k$  z uwzgl.  $p_k$ 
10:     $A_{k+1} \leftarrow A_{k+1} - B_{k+1}W$ 
11:     $z \leftarrow U_k^{-1}x_k$ 
12:     $x_{k+1} \leftarrow x_{k+1} - B_{k+1}z$ 
13:   end if
14: end for
   Etap 2: Podstawienie wstecz
15:  $x_v \leftarrow U_v^{-1}x_v$ 
16: for  $k \leftarrow v - 1$  downto 1 do
17:    $kor \leftarrow C_k x_{k+1}$                                               ▷ Wektor poprawki
18:    $kor \leftarrow \text{Permutuj}(kor, perms[k])$                                 ▷ Permutujemy korekture
19:    $z \leftarrow L_k^{-1}kor$                                                  ▷ Rozwiążanie układu z  $L_k$ 
20:    $x_k \leftarrow x_k - z$                                               ▷ Odjęcie poprawki od aktualnego rozwiązania
21:    $x_k \leftarrow U_k^{-1}x_k$ 
22: end for
23: return  $x$ 
```

4.3 Opis algorytmu faktoryzacji LU macierzy blokowej

Zadanie wyznaczenia rozkładu LU macierzy blokowo-trójdzielnej sprowadza się do wykonania eliminacji Gaussa na poziomie bloków. Algorytm działa w miejscu, nadpisując bloki diagonalne A_k ich lokalnymi rozkładami $L_k U_k$ oraz modyfikując kolejne bloki diagonalne zgodnie ze schematem dopełnienia Schura.

4.3.1 Wariant bez wyboru elementu głównego

Algorytm 4 przedstawia procedurę faktoryzacji. Przetwarzamy macierz od górnego lewego bloku do dolnego.

Algorithm 4 Wyznaczanie rozkładu LU bez wyboru elementu (Zadanie 2a)

Require: Macierz blokowa M (bloki A, B, C), rozmiar bloku l , liczba bloków v
Ensure: Macierz M zmodyfikowana (zawiera rozkład LU)

```

1: for  $k \leftarrow 1$  do v do
2:   LU_DENSE( $A_k$ )                                      $\triangleright$  Rozkład  $A_k = L_k U_k$  w miejscu
3:   if  $k < v$  then
4:      $W \leftarrow$  Oblicz  $A_k^{-1} C_k$                        $\triangleright$  Rozwiążanie  $l$  układów  $L_k U_k W = C_k$ 
5:      $A_{k+1} \leftarrow A_{k+1} - B_{k+1} W$ 
6:   end if
7: end for
```

W wyniku działania algorytmu faktoryzacji, w strukturze danych przechowywane są zmodyfikowane bloki A_k (zawierające lokalne czynniki L_k i U_k) oraz niezmienione bloki B_k i C_k . Z matematycznego punktu widzenia, globalne macierze \mathcal{L} i \mathcal{U} dla całej macierzy blokowej A mają następującą postać:

$$\mathcal{U} = \begin{bmatrix} U_1 & C_1 & 0 & \dots \\ 0 & U_2 & C_2 & \dots \\ \vdots & \vdots & \ddots & \vdots \\ 0 & 0 & \dots & U_v \end{bmatrix}, \quad \mathcal{L} = \begin{bmatrix} L_1 & 0 & 0 & \dots \\ \tilde{L}_2 & L_2 & 0 & \dots \\ 0 & \tilde{L}_3 & L_3 & \dots \\ \vdots & \vdots & \ddots & \ddots \end{bmatrix}$$

gdzie:

- L_k, U_k to macierze trójkątne otrzymane z lokalnego rozkładu zmodyfikowanych bloków diagonalnych, przechowywane w tablicy M.A.
- Bloki naddiagonalne w macierzy \mathcal{U} są tożsame z macierzami C_k . Ponieważ nie ulegają one zmianie w procesie eliminacji, tablica M.C przechowuje gotowe fragmenty macierzy \mathcal{U} .
- Bloki poddiagonalne \tilde{L}_k w macierzy \mathcal{L} są związane z macierzami B_k zależnością:

$$\tilde{L}_k \cdot U_{k-1} = B_k \implies \tilde{L}_k = B_k U_{k-1}^{-1}$$

Obliczenie i zapamiętanie jawniej postaci macierzy \tilde{L}_k (która jest macierzą gęstą) zwiększyłoby złożoność pamięciową algorytmu. Zamiast tego, w pamięci pozostawiamy rzadką macierz B_k (tablica M.B). Podczas rozwiązywania układu, operację mnożenia przez \tilde{L}_k realizujemy pośrednio, wykonując sekwencję operacji na macierzach B_k i U_{k-1} , co pozwala zachować liniową złożoność pamięciową $O(n)$.

4.3.2 Wariant z częściowym wyborem elementu głównego

Wariant ten (Algorytm 5) wprowadza stabilizację numeryczną poprzez zamianę wierszy wewnętrz bloków diagonalnych.

Algorithm 5 Wyznaczanie rozkładu LU z częściowym wyborem elementu (Zadanie 2b)

Require: Macierz blokowa M , rozmiar bloku l , liczba bloków v

Ensure: Macierz M zmodyfikowana, tablica permutacji $perms$

```
1: perms  $\leftarrow$  tablica o rozmiarze  $v$ 
2: for  $k \leftarrow 1$  to  $v$  do
3:    $(A_k, p_k) \leftarrow \text{LU\_Dense\_Pivot}(A_k)$             $\triangleright$  Rozkład z pivotem, zwraca permutację  $p_k$ 
4:    $perms[k] \leftarrow p_k$                                  $\triangleright$  Zapamiętanie permutacji dla bloku  $k$ 
5:   if  $k < v$  then
6:     // Obliczenie  $W$  musi uwzględniać permutację  $p_k$ 
7:      $W \leftarrow \text{Oblicz } A_k^{-1} C_k$  (z użyciem  $p_k$ )
8:      $A_{k+1} \leftarrow A_{k+1} - B_{k+1}W$ 
9:   end if
10:  end for
11: return  $perms$ 
```

5 Wyniki i wnioski

W celu sprawdzenia działania algorytmów przeprowadziłem testy zarówno na danych zapewnionych przez profesora Zielińskiego jak i wygenerowanych przez siebie z użyciem jego modułu `matrixgen`. Testy przeprowadziłem zarówno dla rozwiązywania $Ax = b$ jak i dla $b = Ax$, gdzie $x = (1, \dots, 1)^T$. Poniżej zamieszczona została tabela analizy złożoności $O(n^k)$ gdzie k zostało wyznaczone za pomocą regresji liniowej w skali logarytmicznej:

1. Jeśli złożoność to $O(n^k)$, to:

$$T(n) = c \cdot n^k$$

- 2.

$$\log T(n) = \log c + k \cdot \log n$$

To jest równanie linii prostej: $y = a + k \cdot x$, gdzie:

- $y = \log T(n)$ — logarytm czasu/pamięci
- $x = \log n$ — logarytm rozmiaru problemu
- k — nachylenie

3. Program obliczamy nachylenie prostej metodą najmniejszych kwadratów:

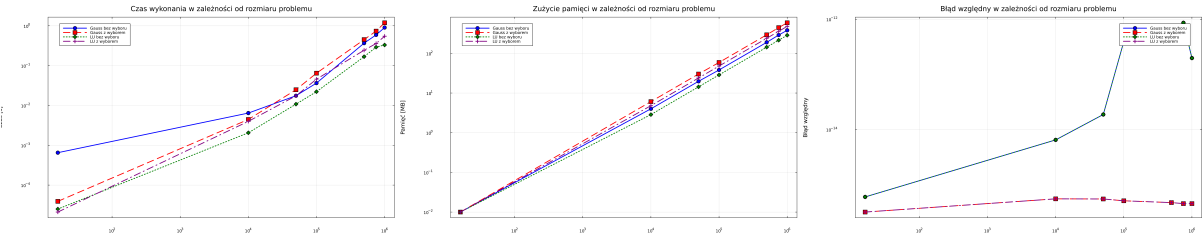
$$k = \frac{\sum_{i=1}^n (x_i - \bar{x})(y_i - \bar{y})}{\sum_{i=1}^n (x_i - \bar{x})^2}$$

gdzie \bar{x} i \bar{y} to średnie wartości.

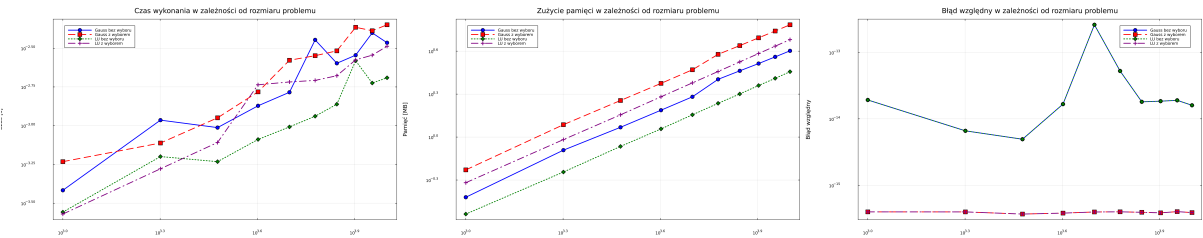
4. Nachylenie k to wykładnik w złożoności $O(n^k)$.

Tabela 1: Analiza złożoności obliczeniowej i pamięciowej algorytmów, regresja liniowa

Metoda	Złożoność czasowa	Złożoność pamięciowa
Gauss bez wyboru	$O(n^{0.65})$	$O(n^{0.96})$
Gauss z wyborem	$O(n^{0.93})$	$O(n^{0.99})$
LU bez wyboru	$O(n^{0.87})$	$O(n^{0.93})$
LU z wyborem	$O(n^{0.92})$	$O(n^{0.98})$



Rysunek 1: Zmiany czasu wykonania, zużycia pamięci oraz błędu względnego w zależności od wielkości problemu $Ax = b$ dla wszystkich 4 algorytmów



Rysunek 2: Zmiany czasu wykonania, zużycia pamięci oraz błędu względnego w zależności od wielkości problemu $b = Ax$, gdzie $x = (1, \dots, 1)^T$ dla wszystkich 4 algorytmów

Tabela 1 potwierdza założenie liniowej złożoności.

Rysunki 1 i 2 również potwierdzają liniowość zaimplementowanych algorytmów. Ponadto zaobserwować na nich możemy również różnicę w błędzie względny kiedy używamy wersji z wyborem elementu głównego oraz bez niego. Zgodnie z oczekiwaniami wersja z pivotem jest dokładniejsza. Widzimy również, że błąd względny zależy tylko od tego, czy algorytm korzysta z pivota czy też nie.